

LOU CACHAOU

CHEMIN DE RONDE

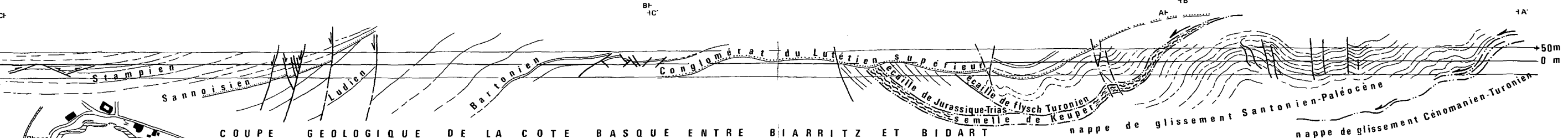
PEYRE BLANQUE

CASEVILLE

ROCHER DU GRAND PU

MATCHOENIA

COUPE GEOLOGIQUE DE LA COTE BASQUE ENTRE BIARRITZ ET BIDART



CHRONOLOGIE DES DEFORMATIONS

- 1) Nappes de glissement et écailles
Glissements précoce couche sur couche et sur biseaux selon N45 à 70E (fig.g stries a)
- 2) Plissement selon N70E à N80E. Plis-failles
Formation de plis de type flexure et de plis-faille N70E (fig.h). Striation perpendiculaire à l'axe des plis (fig.g stries b)
- Erosion et dépôt de l'Eocène
- 3) Progression des nappes de glissement: replissement
Glissements à l'intérieur de la série Eocène (fig.e) suivis de plissement selon N45 à N55E. Striation un peu oblique à l'axe des plis (fig.d)
- Dépôt de l'Oligocène
- 4) Ultime rejeu des nappes de glissement
Formation d'ondulations N120E. Déformation des structures anté-Oligocène (bombements) et torsion des failles N70E. Striation perpendiculaire à l'axe des plis (fig.i)
- 5) Couissage et extension
Rejeu des failles N70E et N140E. Mouvements de coulissage horizontal suivis par des mouvements de faille (extension)
- Dépôt du Pliocène

Fig.d Stéréogramme de la striation sur les plans de couche et de diaclase en biseau recoupant l'Eocène de la Côte des Basques et du Chemin de Ronde. Striation synchrone des plis N45E.

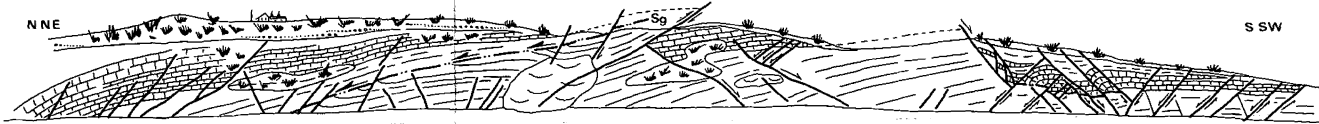


Fig.e Failles N140 à N160E recoupant les calcaires et marnes du LUTETIEN supérieur dans la falaise du chemin de ronde. Les surfaces de glissement Sg sont dues à un rejeu des nappes de glissement anté-Lutétien

Fig.f Stéréogramme de la striation sur les plans de faille N140E recoupant l'Eocène de la falaise du Chemin de Ronde. Mouvements de coulissage horizontal et de faille.

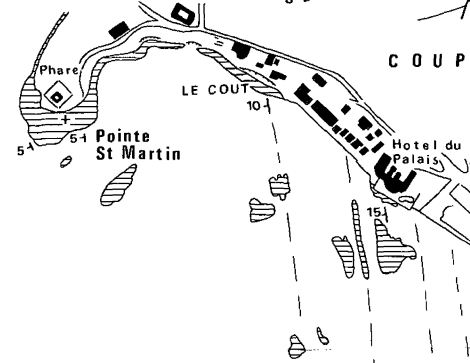
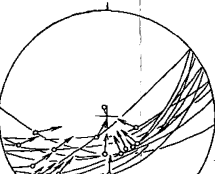


Fig.a Stéréogramme de la striation sur les plans de couche et de diaclase en biseau recoupant l'Oligocène de la pointe du Phare. Striation synchrone du pli N120E.

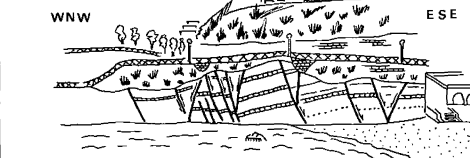


Fig.b Failles N70E recoupant les grès calcaires et les conglomérats du SANNOISIEN de la pointe de Biarritz (falaise Sud de l'Attalaye)

Fig.c Stéréogramme de la striation sur les plans de faille N70E recoupant l'Eocène et l'Oligocène de la pointe de Biarritz. Mouvements de coulissage horizontal et de faille.

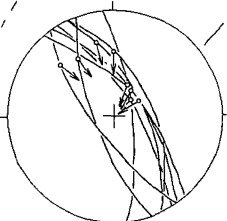
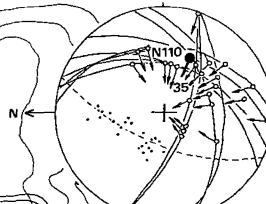
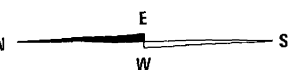
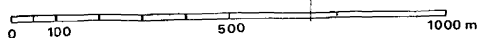


Fig.i Stéréogramme de la striation sur les plans de glissement à la base de la nappe de Santonien Fig.i Paléocène à Bidart plage. Rotation des stries en relation avec les différentes étapes de la verticalisation des surfaces de glissement.



CARTE GEOLOGIQUE & STRUCTURALE DE LA COTE BASQUE entre Biarritz et Bidart

par Jacques Muller



Oligocène	STAMPIEN	Grès pélitiques, lentilles de calcaire à nummulites	Cretacé-Paléocène	DANO-PALEOCENE	Marnes et calcaires gris blanc et rosés	
	SANNOISIEN	Grès pélitiques, calcaires et conglomérats		CAMPANO-MAESTRICHTIEN	Marnes conchoïdes de Bidart rouges et vertes	
	LUDIEN	Calcaires et marnes		SANTONIEN-TURONIEN	Flysch marneux avec microbrèches et grès à silex	
	BARTONIEN	Marnes "bleues" et marnes à pentacrines		Trias Jurassique	LIAS ?	Calcaires dolomitiques et carnéules
	LUTETIEN	Calcaires et marnes de Marbella			INFRALIAS ?	Marnes et marno-calcaires rubanés; marnes gréseuses
	SUPERIEUR	Marnes et calcaires coquillés			KEUPER	Argiles bariolées, calcaires, gypse
Eocène		Calcaires gréseux de la Goureppe				
		Calcaires et conglomérats de Peyre blanche				

Anticlinal, synclinal, axe de pli mesuré
 Chronologie des plissements: I repris par II
 Faille
 Surface de glissement
 STEREOGRAMME PROJECTION DE WULF HEMISPHERE SUPERIEURE
 strie
 axe de pli

Fig.g Stéréogramme de la striation sur les plans de couche et de diaclase en biseau recoupant le Campano-Maestrichtien de la falaise de Bidart. Stries a: glissements précoces. Stries b: synchrones des plis N70E

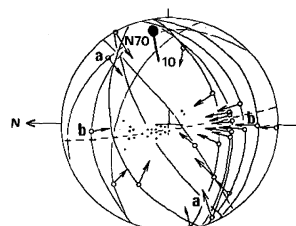


Fig.h Plis N70E déformant les marnes du MAESTRICHTIEN dans la falaise de Matchoenia. Surfaces de glissement précoce reprises dans les plis.

